

はじめに

概要

概要

提案手法

数値実験

結果

まとめ

自分の研究に対して

【論文紹介】 人間社会的流行における数理モデルの提案 -イノベータ理論と時間遅れの方程式を用いて-

武藤 克弥 (Katsuya Mutoh)
u255018@st.pu-toyama.ac.jp

富山県立大学 大学院 電子・情報工学専攻 情報基盤工学部門

June 23, 2023

背景

- ・マーケティングにおいて、新商品やサービス開発のためにトレンド予測をすることが欠かせない
- ・病気の流行を微分方程式で表した SIR モデルを拡張し、人間社会の流行をモデル化する研究が行われている

目的

- ・SIR モデルにイノベータ理論を組み込み、新しい流行モデルを提案
- ・Twitter や口コミを基に、あるトレンドの流行り廃りを提案した数理モデルで再現し、高精度なフィッティングを目指す

¹太田 靖, 水谷 直樹., 2021.

はじめに

概要

概要

提案手法

数値実験

結果

まとめ

自分の研究に対して

概要

3/19

SIR モデル

- 未感染者 (S)、感染者 (I)、免疫者 (R) に分類し、それぞれの増減を連立非線形微分方程式で表現
- α : 感染率, β : 治癒速度

$$\begin{cases} \frac{dS(t)}{dt} = -\alpha S(t)I(t) \\ \frac{dI(t)}{dt} = \alpha S(t)I(t) - \beta I(t) \\ \frac{dR(t)}{dt} = \beta I(t) \end{cases}$$

はじめに

概要

概要

提案手法

数値実験

結果

まとめ

自分の研究に対して

概要

4/19

イノベータ理論

- 流行を取り入れる早さは人それぞれ
- 流行には流れがある=時間的な遅れがある 現象をモデル化

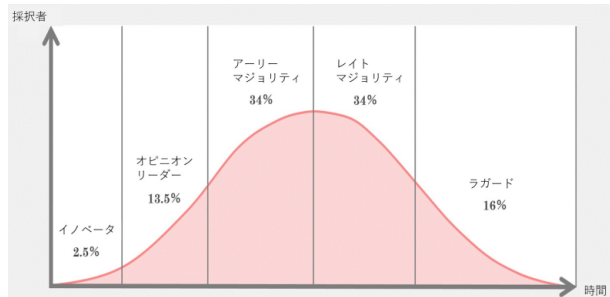


図 1: イノベータ理論による流行取入のタイミング

はじめに

概要

概要

提案手法

数値実験

結果

まとめ

自分の研究に対して

概要

はじめに
概要
概要
概要
提案手法
数値実験
結果
まとめ
自分の研究に対して

従来モデルの問題点

- 同様に SIR モデルを拡張
- 単調な流行の爆発・衰退しか再現できなかった

$$\begin{cases} \frac{dy_1(t)}{dt} = -\alpha y_1(t) \\ \frac{dy_2(t)}{dt} = \alpha y_1(t) - (\beta + \gamma)y_2(t) \\ \frac{dy_3(t)}{dt} = \beta y_2(t) \\ \frac{dy_4(t)}{dt} = \gamma y_2(t) \end{cases}$$

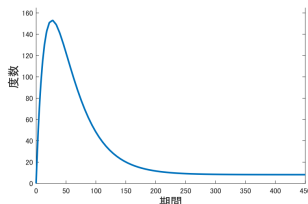
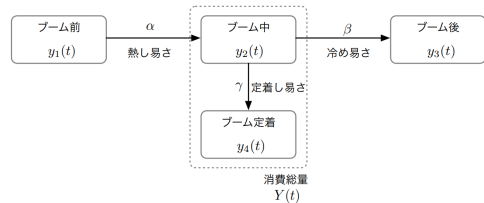
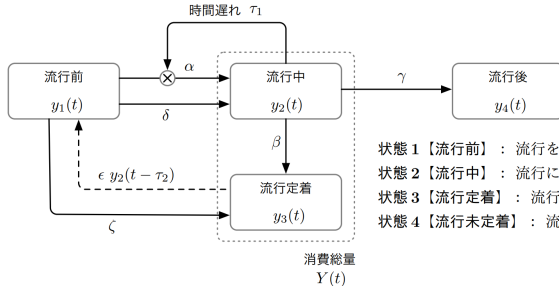


図 2: 従来モデル(一部抜粋)

提案手法(モデル)

はじめに
概要
概要
提案手法
数値実験
結果
まとめ

自分の研究に対して



- 状態 1【流行前】：流行を取り入れる可能性がある状態
- 状態 2【流行中】：流行に乗っている状態
- 状態 3【流行定着】：流行を定着させた状態
- 状態 4【流行未定着】：流行を取り止めた状態

$$\left\{ \begin{array}{l} \frac{dy_1(t)}{dt} = -\alpha y_1(t)y_2(t - \tau_1) - \delta y_1(t) + \varepsilon y_2(t - \tau_2) - \zeta \\ \frac{dy_2(t)}{dt} = \alpha y_1(t)y_2(t - \tau_1) - (\beta + \gamma)y_2(t) + \delta y_1(t) \\ \frac{dy_3(t)}{dt} = \beta y_2(t) - \varepsilon y_2(t - \tau_2) + \zeta \\ \frac{dy_4(t)}{dt} = \gamma y_2(t) \end{array} \right.$$

解 $y_2(t) + y_3(t)$ を実データにフィッティング

α : 接触して流行前→流行中になる確率
 β : 流行中→流行定着になる確率
 γ : 流行中→流行語(未定着)になる確率
 δ : 接触せず流行前→流行中になる確率
 (新規生産)
 ε : 流行定着→流行前になる確率
 (インフルエンサーによる再起)
 ζ : 流行前→流行強制定着の確率
 (商品の無料取得など)

図 3: 提案モデル(一部改変)

解の導出とパラメータ推定

- モデル式は解析解を必ずしも得られない
- ベイズ推定によって数値解からパラメータ推定

ベイズ推定

- データごとにパラメータがばらつく=確率分布に従っているとしてパラメータの分布を推定する手法
- 事前分布の設定、尤度関数の導出を行い、事後分布(パラメータが従うべき分布)を求める

提案手法

8/19

ベイズ推定(事後分布の式)

$f(\theta|Y)$: 事後分布, $f(Y|\theta)$: 尤度関数, $f(\theta)$: 事前分布
 $f(Y)$: 観測データ Y が与えられたときの正規化定数

$$f(\theta|Y) = \frac{f(Y|\theta)f(\theta)}{f(Y)} \quad (1)$$

本研究への適用

事前分布=一様分布: $f(\theta) = U_{[-\theta_0, \theta_0]}$ (θ_0 は大きい正の定数)

- m : 観測点の数
- $\mathbf{Y} = (Y(t_1), Y(t_2), \dots, Y(t_m))$: 実データベクトル
- $\mathbf{F}^\theta = (y_2^\theta(t_1) + y_3^\theta(t_1), y_2^\theta(t_2) + y_3^\theta(t_2), \dots, y_2^\theta(t_m) + y_3^\theta(t_m))$
 → パラメータ θ のときの数値解
- 観測誤差: $\varepsilon = \mathbf{Y} - \mathbf{F}^\theta \quad (\varepsilon \sim N(0, \Sigma_\theta^2))$
- 尤度関数: $f(Y|\theta) = \exp \left\{ -\frac{(\mathbf{Y}-\mathbf{F}^\theta)(\mathbf{Y}-\mathbf{F}^\theta)^T}{2\Sigma_\varepsilon^2} \right\}$
- 事後分布: $f(\theta|Y) \propto \exp \left\{ -\frac{(\mathbf{Y}-\mathbf{F}^\theta)(\mathbf{Y}-\mathbf{F}^\theta)^T}{2\Sigma_\varepsilon^2} \right\}$

はじめに

概要

概要

提案手法

数値実験

結果

まとめ

自分の研究に対して

マルコフ連鎖モンテカルロ法(MCMC)

- 疑似乱数シミュレーションと1つ前の状態を利用する更新方法
- 尤度関数の最大化パラメータを偏微分で解析的に解けないときに使用

メトロポリス-ヘイスティングズ法(M-H法)

- MCMC の一種
- 提案分布を設定。事後分布に等しくなるようパラメータサンプリング

提案分布=正規分布(中心 θ_k , 標準偏差 σ_θ)

- ① $N(\theta_k, \sigma_\theta^2)$ から θ' を抽出
- ② θ' から微分方程式の数値解 $F^{\theta'}$ を取得 (MATLAB dde23 使用)
- ③ 事後分布 $f(\theta'|\mathbf{Y})$ を導出
- ④ 事後分布比率からパラメータ採択確率を計算

$$\alpha(\theta', \theta_k) = \min \left(1, \frac{f(\theta'|\mathbf{Y})}{f(\theta_k|\mathbf{Y})} \right) \quad (2)$$

- ⑤ (乱数値) $< \alpha(\theta', \theta_k)$ のとき $\theta_{k+1} = \theta'$ (更新),
False なら $\theta_{k+1} = \theta_k$ (未更新)

- ① ある話題のツイートデータを用意
- ② パラメータ 5 種 $\alpha \sim \varepsilon(6p)$ の初期値を決定
- ③ 実データから ζ, τ_1, τ_2 を決定
- ④ M-H 法を 500,000 回実行し, $\alpha \sim \varepsilon$ を決定
- ⑤ 実データとのフィッティング. 決定係数の計算

$$R^2 = 1 - \frac{\sum_{i=1}^n (E_i - \bar{E})^2}{\sum_{i=1}^n (Y_i - \bar{Y})^2} \quad (E_i = Y_i - F_i^\theta) \quad (3)$$

- ⑥ ζ, τ_1, τ_2 の微調整
- ⑦ 4~6 を繰り返し, 最終的なパラメータ決定

数値実験 1 先行研究との比較

11/19

データ

- 原発に関するツイート (日数ごとの) 件数
- 先行研究 1,2 モデルとの当てはまりを比較

| 原発(提案モデル) | | |
|---------------|---------|----------|
| α | 0.00132 | $y_1(0)$ |
| β | 0.00541 | $y_2(0)$ |
| γ | 0.02723 | $y_3(0)$ |
| δ | 0.05132 | $y_4(0)$ |
| ε | 0.01183 | τ_1 |
| ζ | 0.35 | τ_2 |

| 原発 (中桐らのモデル) | | |
|--------------|---------|----------|
| α | 0.05340 | $y_1(0)$ |
| β | 0.00808 | $y_2(0)$ |
| γ | 0.02520 | $y_3(0)$ |
| | | $y_4(0)$ |

| 原発 (植田らのモデル) | | |
|--------------|----------|----------|
| α | 0.04680 | $y_1(0)$ |
| β | 0.00576 | $y_2(0)$ |
| γ | 0.02251 | $y_3(0)$ |
| δ | -0.00066 | $y_4(0)$ |

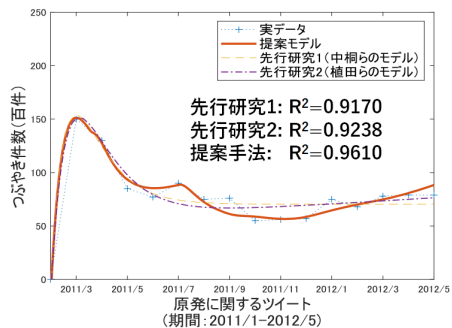


図 4: 先行研究との比較 (一部改変)

はじめに

概要

概要

提案手法

数値実験

結果

まとめ

自分の研究に対して

データ

- 一過性(単調な)流行, 再起性(波のある)流行データで評価
- 一過性=Pokémon GO 口コミ件数
 - 2016/6~2017/4 Googleトレンドの口コミ数
 - 微分方程式の解の単位時間=1日
 - 初期値 $\tau_1 = 16$ (約2週間間前に海外の先行配信を考慮)
- 再起性=本麒麟ツイート件数
 - 2019/2/23~2019/3/12 新品キャンペーンのTwitterデータ()
 - 微分方程式の解の単位時間=1時間
 - 初期値 $\tau_1 = 13$ (「イベント半日前から話題浮上」と仮定)
- 初期値 τ_2 =(再起の山の変化点からピークまでの時間)

はじめに

概要

概要

提案手法

数値実験

結果

まとめ

自分の研究に対して

結果 1 一過性流行 (Pokémon GO)

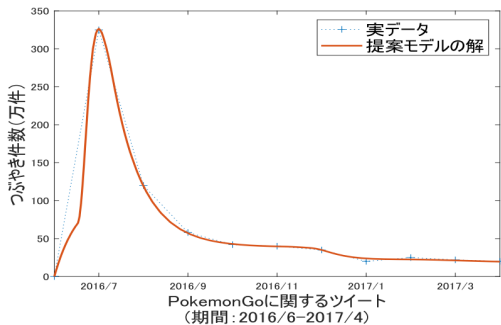
13/19

解 $y_2(t) + y_3(t)$ を実データにフィッティング

はじめに
概要
概要
提案手法
数値実験
結果
まとめ

自分の研究に対して

| Pokemon Go | | |
|---------------|---------|----------|
| α | 0.00369 | $y_1(0)$ |
| β | 0.00348 | $y_2(0)$ |
| γ | 0.04591 | $y_3(0)$ |
| δ | 0.01259 | $y_4(0)$ |
| ε | 0.00201 | τ_1 |
| ζ | 0 | τ_2 |
| | | 16 |
| | | 155 |



$$R^2 = 0.9979$$

図 5: 決定パラメータとフィッティング結果

結果2 再起性流行(本麒麟)

14/19

- 解 $y_2(t) + y_3(t)$ を実データにフィッティング
- 再起の波も表現
- 若干の過剰な振動が見られた

| 本麒麟 | | | |
|---------------|----------|----------|------|
| α | 0.00017 | $y_1(0)$ | 3500 |
| β | -0.00034 | $y_2(0)$ | 0 |
| γ | 0.03170 | $y_3(0)$ | 199 |
| δ | 0.03593 | $y_4(0)$ | 0 |
| ε | 0.01962 | τ_1 | 12 |
| ζ | 7 | τ_2 | 144 |

$$R^2 = 0.9643$$

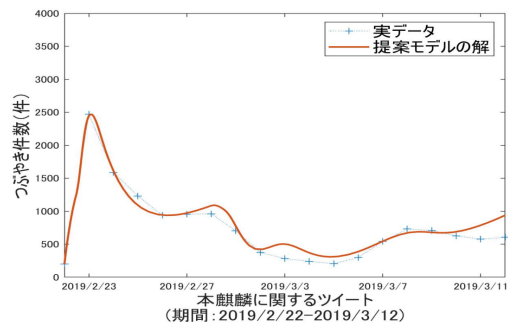


図 6: 決定パラメータとフィッティング結果(一部改変)

はじめに

概要

概要

提案手法

数値実験

結果

まとめ

自分の研究に対して

はじめに

概要

概要

提案手法

数値実験

結果

まとめ

自分の研究に対して

- 一過性 (Pokémon GO, 君の名は。), 再起性 (本麒麟, KitKat)
いずれもパラメータ γ が一番高い傾向
→ いずれも初めの爆発的な波の後に止める人が多いことを表現
- ε について再起性の方が高い
→ インフルエンサーが再度流行 (波) を起こした結果の現れ

まとめ

16/19

まとめ

- 病気の流行を表す SIR モデルとマーケティングのイノベータ理論を組み合わせ、社会的流行を表現する数理モデルを設計
- 先行研究と比較して再起する流行(微細振動)を表現可能にした

今後の課題

- 一過性、再起性以外のデータ、国外の流行データでの検証
- マーケティングの知見をさらに取り入れて、 τ_1 , τ_2 , ζ の決め方を改善

はじめに

概要

概要

提案手法

数値実験

結果

まとめ

自分の研究に対して

自分の研究への応用

17/19

やりたいと思っていること

- トピック(キーワード等)に対する話題の流行変化をモデリング
→ 1つではなく複数(キーワード A → Bへの流行変化)
- キーワード A を発端として共起されるキーワードのうち、どれが流行しそうかを予測？

本紹介論文が活かせそうな部分

- 6ページの微分方程式
→ 微分方程式(1キーワード ver)を複数キーワード verに拡張
- 微分方程式の中に共起ネットワークを入れて、キーワード遷移を表現？

はじめに

概要

概要

提案手法

数値実験

結果

まとめ

自分の研究に対して

微分方程式数値解の導出

- 論文と同じ MATLAB dde23(遅延微分方程式) ライブライアリ使用
- 最終パラメータを代入して実行

はじめに

概要

概要

提案手法

数値実験

結果

まとめ

自分の研究に対して

| | |
|---|---|
| <pre>sir Rogers.m</pre> <pre> 1 function dydt = sir Rogers(t,y,Z,p) 2 ylag1 = Z(:,1); 3 ylag2 = Z(:,2); 4 Y2tau_1 = ylag1(2); 5 Y2tau_2 = ylag2(2); 6 Y1 = y(1); 7 Y2 = y(2); 8 Y3 = y(3); 9 Y4 = y(4); 10 11 dY1dt = - p.alpha * Y1 * Y2tau_1 - p.delta * Y1 ... 12 + p.epsilon * Y2tau_2 - p.zeta; 13 14 dY2dt = p.alpha * Y1 * Y2tau_1 ... 15 - (p.beta + p.gamma) * Y2 + p.delta * Y1; 16 17 dY3dt = p.beta * Y2 - p.epsilon * Y2tau_2 + p.zeta; 18 19 dY4dt = p.gamma * Y2; 20 21 dydt = [dY1dt; dY2dt; dY3dt; dY4dt]; 22 end </pre> | <pre>sir Rogers_sol_yourname.m</pre> <pre> 1 p.alpha = 0.00369; 2 p.beta = 0.00348; 3 p.gamma = 0.04591; 4 p.delta = 0.01259; 5 p.epsilon = 0.00201; 6 p.zeta = 0; 7 8 tau = [16, 155]; 9 Y1_0 = 550; 10 Y2_0 = 0; 11 Y3_0 = 0; 12 Y4_0 = 0; 13 history = [Y1_0, Y2_0, Y3_0, Y4_0]; 14 15 tspan = [0,365]; 16 sol = dde23(@(t,y,Z) sir Rogers(t,y,Z,p), tau, history, tspan); 17 18 plot(sol.x,sol.y(2,:)+sol.y(3,:)) 19 xlabel('Time t') 20 ylabel('y(2)+y(3)') </pre> |
|---|---|

図 7: 微分方程式のコード

やってみたこと

19/19

はじめに
概要
概要
提案手法
数値実験
結果
まとめ

自分の研究に対して

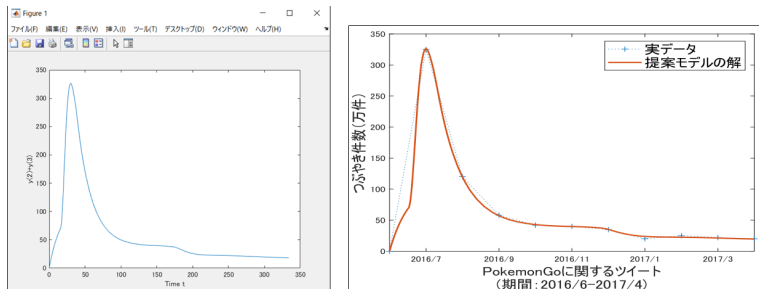


図 8: Pokémon GO の数値解

- dde23 → 微分方程式の構築+解の導出に使えそう
- M-H 法 → PyMC3(Python ライブラリ)で実装可能
- MATLAB → Python から動かせる
- 論文の再現可能？